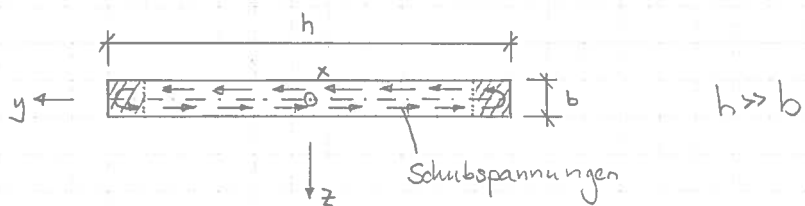


a) Herleitung der maximalen Schubspannung  $\tau_{\max}$  aus

St. Venant Torsion bei offenen dünnwandigen Querschnitten:



Dünnwandig heißt, dass  $h \gg b$  ist. Der Potentialansatz  $\phi$  wird so gewählt, dass er nur von  $z$  abhängig ist. Somit entsteht an den Querschnittsrändern (Schraffur in der Zeichnung oben) ein kleiner Fehler, welcher für grosse Verhältnisse  $h/b$  vernachlässigbar wird.

Da  $\phi_{zz} = 1$  kann  $\phi(z)$  höchstens ein Polynom 2. Grades sein.

$$\text{Ansatz : } \phi(z) = c_1 \cdot z^2 + c_2 \cdot z + c_3$$

$$\phi_{zz} = 2c_1 \cdot z + c_2$$

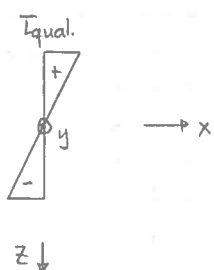
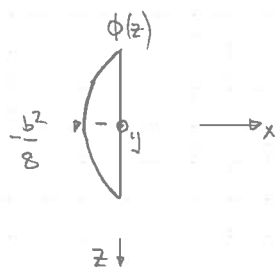
$$\phi_{zz} = 2c_1$$

$$\text{Randbedingungen: } \phi_{zz} = 1 \rightarrow c_1 = \frac{1}{2}$$

$$\phi_{zz}(z=0) = 0 \rightarrow c_2 = 0$$

$$\phi(z=\frac{b}{2}) = 0 \rightarrow c_3 = -\frac{b^2}{8}$$

$$\text{Lösung: } \phi(z) = \frac{1}{2} \left( z^2 - \frac{b^2}{4} \right)$$



Bem. Die Schubspannungen verlaufen affin zu Ableitung des Potentials.

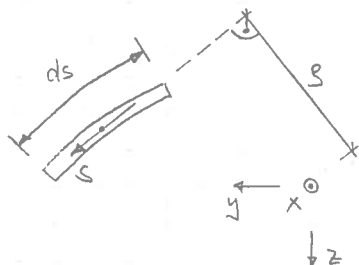
$$\text{Torsionsträgheitsmoment: } I_x = -4 \cdot \int_A \phi \, dA = -4 \cdot \frac{2}{3} \cdot \frac{-b^2}{8} \cdot b \cdot h = \frac{b^3 h}{3}$$

$$\text{Schubspannungen: } \tau_{yx} = -\phi_{xz} \cdot 2G\theta_{ix} = -2G\theta_{ix} \cdot z$$

$$\tau_{zx} = \phi_{yz} \cdot 2G\theta_{ix} = 0$$

$$\text{mit } G\theta_{ix} = \frac{M_x}{I_x} \quad \text{folgt} \quad \tau_{yx,\max} = -2 \frac{M_x}{I_x} \cdot z_{\min} = -2 \frac{M_x}{b^3 h} \cdot 3 \cdot \left(-\frac{b}{2}\right) \\ = \frac{3M_x}{b^2 h} = \frac{M_x}{I_x} \cdot b$$

- b) Herleitung der maximalen Schubspannung  $\tau_{\max}$  aus Bredt'schem Schubfluss bei geschlossenen dünnwandigen Querschnitten:



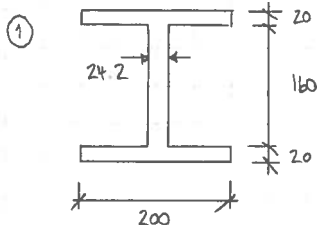
Annahme: Schubfluss  $S = \tau_{sx} \cdot t(s) = \text{konst.}$

$$\text{Gleichgewicht: } M_x = \oint S \cdot g \, ds = S \cdot \oint g \, ds = S \cdot 2A_0$$

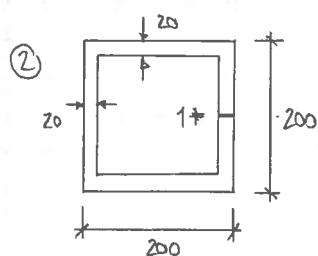
$$\text{Schubspannung: } \tau_{sx} = \frac{M_x}{2A_0 \cdot t(s)}$$

$$\tau_{sx,\max} = \frac{M_x}{2A_0 \cdot t_{\min}}$$

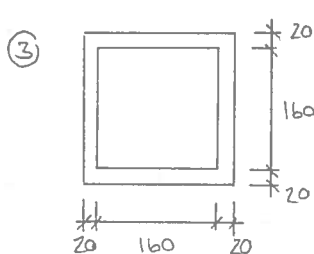
c)



$$I_x = \sum_i \frac{b_i^3 h_i}{3} = \frac{1}{3} (20^3 \cdot 200 \cdot 2 + 24.2^3 \cdot 180) \\ = 1.917 \cdot 10^6 \text{ mm}^4$$



$$I_x = \sum_i \frac{b_i^3 h_i}{3} = \frac{1}{3} (3 \cdot 20^3 \cdot 180 + 2 \cdot 20^3 \cdot 89.5) \\ = 1.917 \cdot 10^6 \text{ mm}^4$$



$$I_x = \frac{4A_o^2}{\int \frac{ds}{t(s)}} = \frac{4 \cdot 180^4}{4 \cdot 180} \cdot 20 = 116.664 \cdot 10^6 \text{ mm}^4 \\ \rightarrow \frac{I_{x,3}}{I_{x,2}} = 60.8$$

Die Torsionssteifigkeit  $I_x$  des geschlossenen Profils 3 ist rund 60 mal grösser als diejenige des quasi identischen Profils 2 mit einer kleinen Öffnung!

Schubspannungen:  $\bar{\tau}_{max,1} = \frac{M_x}{I_x} \cdot b_{max} = M_x \cdot \frac{24.2 \text{ mm}}{1.917 \cdot 10^6 \text{ mm}^4} (100\%)$

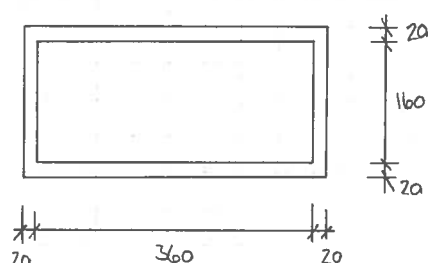
$$\bar{\tau}_{max,2} = \frac{M_x}{I_x} \cdot b_{max} = M_x \cdot \frac{20 \text{ mm}}{1.917 \cdot 10^6 \text{ mm}^4} (82.6\%)$$

$$\bar{\tau}_{max,3} = \frac{M_x}{2A_o \cdot t} = M_x \cdot \frac{1}{2 \cdot 180^2 \cdot 20 \text{ mm}^3} (6.1\%)$$

Bei einem primär auf Torsion beanspruchten Träger ist der Querschnittstyp 3 den anderen vorzuziehen!

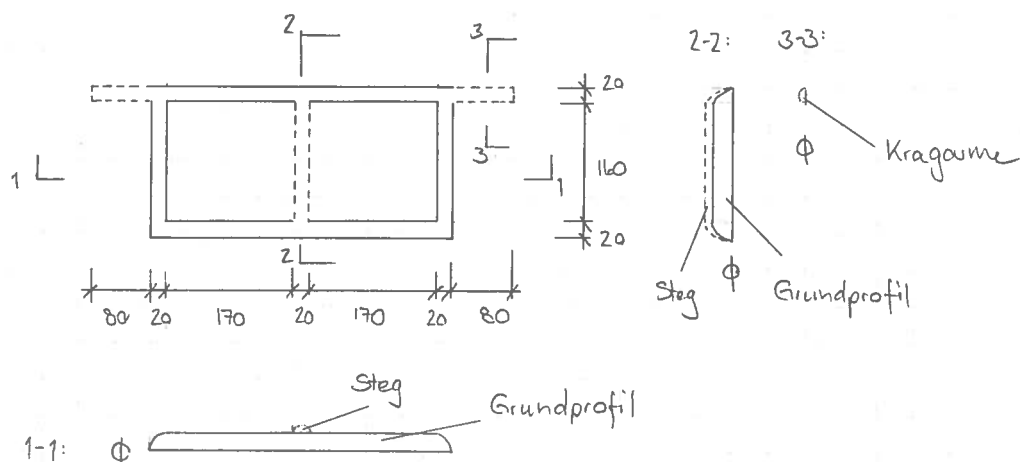
- Vorteile:
- + grössere Steifigkeit
  - + kleinere Schubspannung

d) Grundprofil:



$$I_{x,0} = \frac{4A_0^2}{\int \frac{ds}{t(s)}} = \frac{4 \cdot (180 \cdot 380)^2}{2 \cdot (180 + 380)} \cdot 20 \\ = 334,2 \cdot 10^6 \text{ mm}^4$$

○ ergänztes Profil:



○ Das Torsionsträgheitsmoment vergrößert sich durch die Ergänzungen um

$$\Delta I_x = \sum_i \frac{b_i^3 h}{3} = \frac{1}{3} \cdot (2 \cdot 20^3 \cdot 90 + 20^5 \cdot 180) = 0,96 \cdot 10^6 \text{ mm}^4$$

Dies entspricht einer Vergrößerung von nur

$$\frac{I_{x,0} + \Delta I_x}{I_{x,0}} - 1 = \frac{334,2 + 0,96}{334,2} - 1 = 0,3\%$$